

## ОСОБЕННОСТИ СПЕКТРА ОДНООСНО ДЕФОРМИРОВАННЫХ ПОЛУПРОВОДНИКОВ С ВЫРОЖДЕННЫМИ ЗОНАМИ В МАГНИТНОМ ПОЛЕ, ПЕРПЕНДИКУЛЯРНОМ ДАВЛЕНИИ

Румянцев Е. Л., Рут О. Э.

Предложен метод расчета энергетического спектра одноосно деформированных алмазоподобных полупроводников в квантующем магнитном поле, перпендикулярном давлению. Приведены результаты расчета уровней Ландау  $a_0$ ,  $b_0$ ,  $a_1$ ,  $b_1$  для бесщелевого полупроводника  $\text{Hg}_{1-x}\text{Cd}_x\text{Te}$ .

Одноосная деформация приводит к значительной перестройке спектра как алмазоподобных полупроводников с вырожденной валентной зоной  $\Gamma_8$ , так и бесщелевых полупроводников типа  $\text{HgTe}$ , для которых валентная зона и зона проводимости вырождены в точке  $\mathbf{k}=0$  и также принадлежат представлению  $\Gamma_8$  [1]. Экспериментальные исследования энергетического спектра полупроводников, как правило, проводятся в квантующем магнитном поле, поэтому расчет положений уровней Ландау в одноосно деформированных полупроводниках представляет значительный интерес.

При давлении, направленном параллельно магнитному полю, удается точно решить задачу, поскольку в данном случае приложение давления не приводит к дальнейшему понижению симметрии и собственные волновые функции совпадают по виду с собственными функциями, описывающими движение носителя в магнитном поле [2]. Такие расчеты энергетического спектра в зависимости от приложенного давления и магнитного поля приведены, например, для  $\text{InSb}$  [3] и  $\text{HgTe}$  [4].

При приложении давления поперек магнитного поля симметрия задачи существенно понижается. Давление в этом случае приводит к перемешиванию уровней Ландау, существовавших в отсутствие давления. Нам не известны работы, в которых было бы проведено исследование спектра в этой ситуации. Используя результаты [1], можно выписать общее выражение для гамильтониана, описывающего поведение уровней энергии четырехкратно вырожденной зоны  $\Gamma_8$  при наложении аксиального давления  $\chi$  в произвольном направлении и магнитного поля  $\mathbf{H} \perp \chi$ :

$$\hat{H} = \hat{H}_L \left( p - \frac{e}{c} A \right) + \hat{H}(\epsilon),$$

где  $\hat{H}_L(p - \frac{e}{c} A)$  — гамильтониан Латтинжера в магнитном поле, в котором мы пренебрегаем гофрированностью энергетических поверхностей ( $\gamma_2 = \gamma_3 = \tilde{\gamma}$ );  $\hat{H}(\epsilon)$ , согласно [1], имеет следующий вид в системе координат, связанной с главными осями кристалла:

$$\hat{H}(\epsilon) = \left( a + \frac{5}{4} b \right) \epsilon - b \sum_i J_i^2 \epsilon_{ii} - \frac{1}{\sqrt{3}} d \sum_{ij} [J_i J_j] \epsilon_{ij},$$

$$\epsilon = \text{Sp } \epsilon_{ij}, \quad \epsilon_{ij} = S_{ijmn} n_m n_n \chi,$$

$$[J_i J_j] = 1/2 (J_i J_j + J_j J_i),$$

$\epsilon_{ij}$  — тензор деформации,  $S_{ijmn}$  — тензор коэффициентов упругой податливости,  $n_i$  — проекции единичного вектора  $\mathbf{n}$ , описывающего ориентацию дав-

ления  $\chi$  относительно кристаллографических осей,  $J_i$  — числовые матрицы  $4 \times 4$  проекций момента импульса, соответствующие значению  $J = 3/2$ . В отсутствие магнитного поля, как известно [1], изотропная деформация вызывает смещение зон как целого, равное

$$\Delta E = a\varepsilon,$$

а анизотропная деформация расщепляет зоны в точке  $\mathbf{k} = 0$  на величину  $2\mathcal{E}_\varepsilon^{1/2}$ :

$$\mathcal{E}_\varepsilon = \frac{b^2}{2} [(\varepsilon_{xx} - \varepsilon_{yy})^2 + (\varepsilon_{yy} - \varepsilon_{zz})^2 + (\varepsilon_{zz} - \varepsilon_{xx})^2] + d(\varepsilon_{xy}^2 + \varepsilon_{yz}^2 + \varepsilon_{zx}^2).$$

Совершим преобразование системы координат, с тем чтобы в новой системе координат ось  $Oz$  была ориентирована вдоль внешнего магнитного поля, а ось  $Ox$  — вдоль аксиального давления. При этом, ввиду того что в пренебрежении гофрировкой гамильтониан Латтинжера является сферически симметричным, выражение для  $\hat{H}_L$  остается прежним, а  $\hat{H}(\varepsilon)$  в случае, когда аксиальное давление приложено вдоль [100], [010] или [001], приобретает вид

$$\hat{H}(\varepsilon) = a\varepsilon - 5P + 4PJ_x^2,$$

где введенный нами параметр  $P$  следующим образом связан с параметром  $b$  и величиной приложенного давления  $\chi$  через величину  $\mathcal{E}_\varepsilon^{1/2}$  [1], описывающую расщепление зон:

$$2\mathcal{E}_\varepsilon^{1/2} = -8P.$$

Ограничиваясь в дальнейшем случае  $k_z = 0$  (т. е. вычислением энергий на две подзоны Ландау), а также опуская член  $a\varepsilon - 5P$ , описывающий сдвиг уровней как целого, получаем квазидиагональное выражение для гамильтониана (серии  $a$  и  $b$ )

$$\hat{H} = \begin{pmatrix} \hat{H}_a & 0 \\ 0 & \hat{H}_b \end{pmatrix},$$

где

$$\hat{H}_a = \begin{pmatrix} -s \left[ (\gamma_1 + \bar{\gamma}) \left( \hat{n} + \frac{1}{2} \right) + \frac{3}{2} k \right] + 3P & s\sqrt{3} \bar{\gamma} a^2 - 2\sqrt{3} P \\ s\sqrt{3} \bar{\gamma} a^{+2} - 2\sqrt{3} P & -s \left[ (\gamma_1 - \bar{\gamma}) \left( \hat{n} + \frac{1}{2} \right) - \frac{1}{2} k \right] + 7P \end{pmatrix}, \quad (1)$$

$$\hat{H}_b = \begin{pmatrix} -s \left[ (\gamma_1 - \bar{\gamma}) \left( \hat{n} + \frac{1}{2} \right) + \frac{1}{2} k \right] + 7P & s\sqrt{3} \bar{\gamma} a^2 - 2\sqrt{3} P \\ s\sqrt{3} \bar{\gamma} a^{+2} - 2\sqrt{3} P & -s \left[ (\gamma_1 + \bar{\gamma}) \left( \hat{n} + \frac{1}{2} \right) - \frac{3}{2} k \right] + 3P \end{pmatrix},$$

$\gamma_1, \bar{\gamma}, k$  — параметры Латтинжера;  $s = \hbar e H / m_0 c$  — циклотронная энергия свободного электрона;  $a^+$  и  $a$  — операторы рождения и уничтожения, описывающие движение носителя в магнитном поле:  $a^+ = \frac{L}{\sqrt{2}} (k_x + ik_y)$ ,  $a = \frac{L}{\sqrt{2}} (k_x - ik_y)$ ;

$L = (c\hbar/eH)^{1/2}$  — магнитная длина.

В отличие от (1) при  $\chi \parallel \mathbf{H} \parallel Oz$  член, описывающий влияние давления, входит только в диагональные матричные элементы [1] (при  $k_z = 0$  гамильтониан имеет по-прежнему квазидиагональный вид). Используя разложение волновой функции по собственным функциям  $|n\rangle$  оператора  $\hat{n} = a^+a$  для серии  $a$

$$\psi^a = \begin{pmatrix} \sum_{n=0}^{\infty} a_n^1 |n\rangle \\ \sum_{n=0}^{\infty} a_n^2 |n\rangle \end{pmatrix}, \quad (2a)$$

для серии  $b$

$$\psi^b = \begin{pmatrix} \sum_{n=0}^{\infty} b_n^1 |n\rangle \\ \sum_{n=0}^{\infty} b_n^2 |n\rangle \end{pmatrix}, \quad (2б)$$

легко показать, что при  $\chi \parallel \mathbf{H}$  собственные функции имеют вид

$$\psi_n^a = \begin{pmatrix} a^1 |n\rangle \\ a^2 |n+2\rangle \end{pmatrix}, \quad \psi_n^b = \begin{pmatrix} b^1 |n\rangle \\ b^2 |n+2\rangle \end{pmatrix},$$

т. е. совпадают по виду с собственными функциями, диагонализующими гамильтониан Латтинжера в магнитном поле при  $\chi=0$  [2]. Уровни энергии в данном случае находятся из решения соответствующих секулярных уравнений не выше 2-го порядка. Подстановка в (1) разложения (2а), (2б) в случае  $\chi \perp \mathbf{H}$  приводит к бесконечной зацепляющейся системе уравнений, что не позволяет получить решения в аналитическом виде в данном представлении. Нам удалось построить регулярную процедуру получения точных решений в случае  $\gamma_1=2\bar{\gamma}$ . В интересующих нас полупроводниках  $[m_e/m_h=(\gamma_1-2\bar{\gamma})/(\gamma_1+2\bar{\gamma}) \ll 1]$  данное ограничение не представляется существенным и отличие  $\gamma_1$  от  $2\bar{\gamma}$  может быть учтено с нужной точностью по теории возмущения.

Точное решение было получено в результате использования канонического преобразования Боголюбова для гамильтонианов, являющихся квадратичными формами по бозе- или ферми-операторам [5]. От операторов  $a^+$  и  $a$  можно перейти к операторам  $b^+$  и  $b$ , определенным следующим образом:  $a=\lambda b+\mu b^+$ ,  $a^+=\lambda^* b^++\mu^* b$ .

Требую, чтобы новые операторы подчинялись бозевским перестановочным соотношениям, получим условие на  $\lambda$  и  $\mu$ :

$$|\lambda|^2 - |\mu|^2 = 1. \quad (3)$$

Для перехода к новому представлению необходимо совершить в гамильтониане  $\hat{H}$  (1) следующую подстановку (как показывает анализ получаемых уравнений, можно ограничиться выбором действительных  $\lambda$  и  $\mu$ , что и подразумевается в дальнейшем):

$$\begin{aligned} \hat{n} &= a^+ a = \mu\lambda (b^2 + b^{+2}) + (\lambda^2 + \mu^2) b^+ b + \mu^2, \\ a^{+2} &= \lambda^2 b^{+2} + \mu^2 b^2 + 2\mu\lambda b^+ b + \mu\lambda, \\ a^2 &= \lambda^2 b^2 + \mu^2 b^{+2} + 2\mu\lambda b^+ b + \mu\lambda. \end{aligned}$$

Поскольку при  $k_z=0$  преобразованный гамильтониан по-прежнему имеет квазидиагональный вид, собственные функции являются двумерными. Используя тот факт, что оператор  $(-1)^{b^+ b}$  коммутирует с гамильтонианом, можно проклассифицировать волновые функции по «четности», т. е. искать решение в виде разложения по «четным»

$$\psi^{(a, b)} = \begin{pmatrix} \sum_{n=0}^{\infty} c_{2n}^{1(a, b)} |2n\rangle \\ \sum_{n=0}^{\infty} c_{2n}^{2(a, b)} |2n\rangle \end{pmatrix} \quad (4а)$$

или «нечетным»

$$\psi^{(a, b)} = \begin{pmatrix} \sum_{n=0}^{\infty} c_{2n+1}^{1(a, b)} |2n+1\rangle \\ \sum_{n=0}^{\infty} c_{2n+1}^{2(a, b)} |2n+1\rangle \end{pmatrix} \quad (4б)$$

собственным функциям  $|n\rangle$  оператора  $b^+ b$ . Индексы  $a$  и  $b$  нумеруют собственные функции операторов  $\hat{H}_a$  и  $\hat{H}_b$  соответственно. Подставляя волновую функцию (4) в уравнение  $\hat{H}_{a,b} \psi^{(a,b)} = \varepsilon_{a,b} \psi^{(a,b)}$  и приравнявая коэффициенты при одинаковых функциях  $|n\rangle$ , получаем следующую бесконечную систему уравнений для определения коэффициентов  $c_m^{i(a,b)}$  и собственных значений  $\varepsilon_{a,b}$ : для серии  $a$

$$\begin{aligned} & \left\{ -s \left[ (\gamma_1 + \bar{\gamma}) \left( \mu^2 | + \frac{1}{2} \right) + (\lambda^2 + \mu^2) (\gamma_1 + \bar{\gamma}) m + \frac{3}{2} k \right] + 3P \right\} \times \\ & \times c_m^{1a} - s (\gamma_1 + \bar{\gamma}) \mu\lambda \sqrt{m(m-1)} c_{m-2}^{1a} - s (\gamma_1 + \bar{\gamma}) \mu\lambda \sqrt{(m+2)(m+1)} c_{m+2}^{1a} + \\ & + \sqrt{3} [-2P + s\bar{\gamma}\mu\lambda (2m+1)] c_m^{2a} + s\bar{\gamma}\mu^2 \sqrt{3m(m-1)} c_{m-2}^{2a} + \end{aligned}$$

$$\begin{aligned}
& + s\bar{\gamma}\lambda^2 \sqrt{3(m+1)(m+2)} c_{m+2}^{2a} = \varepsilon_a c_m^{1a}, \\
& \left\{ -s \left[ (\gamma_1 - \bar{\gamma}) \left( \mu^2 + \frac{1}{2} \right) + (\lambda^2 + \mu^2) (\gamma_1 - \bar{\gamma}) m - \frac{1}{2} k \right] + 7P \right\} c_m^{2a} - \\
& - s (\gamma_1 - \bar{\gamma}) \mu \lambda \sqrt{m(m-1)} c_{m-2}^{2a} - s (\gamma_1 - \bar{\gamma}) \mu \lambda \sqrt{(m+2)(m+1)} c_{m+2}^{2a} + \\
& + \sqrt{3} [-2P + s\bar{\gamma}\mu\lambda(2m+1)] c_m^{1a} + s\bar{\gamma}\lambda^2 \sqrt{3m(m-1)} c_{m-2}^{1a} + \\
& + s\bar{\gamma}\mu^2 \sqrt{3(m+1)(m+2)} c_{m+2}^{1a} = \varepsilon_a c_m^{2a},
\end{aligned} \tag{5}$$

для серии  $b$

$$\begin{aligned}
& \left\{ -s \left[ (\gamma_1 - \bar{\gamma}) \left( \mu^2 + \frac{1}{2} \right) + (\lambda^2 + \mu^2) (\gamma_1 - \bar{\gamma}) m + \frac{1}{2} k \right] + 7P \right\} c_m^{1b} - \\
& - s (\gamma_1 - \bar{\gamma}) \mu \lambda \sqrt{m(m-1)} c_{m-2}^{1b} - s (\gamma_1 - \bar{\gamma}) \mu \lambda \sqrt{(m+2)(m+1)} c_{m+2}^{1b} + \\
& + \sqrt{3} [-2P + s\bar{\gamma}\mu\lambda(2m+1)] c_m^{2b} + s\bar{\gamma}\mu^2 \sqrt{3m(m-1)} c_{m-2}^{2b} + \\
& + s\bar{\gamma}\lambda^2 \sqrt{3(m+1)(m+2)} c_{m+2}^{2b} = \varepsilon_b c_m^{1b}, \\
& \left\{ -s \left[ (\gamma_1 + \bar{\gamma}) \left( \mu^2 + \frac{1}{2} \right) + (\lambda^2 + \mu^2) (\gamma_1 + \bar{\gamma}) m - \frac{3}{2} k \right] + 3P \right\} c_m^{2b} - \\
& - s (\gamma_1 + \bar{\gamma}) \mu \lambda \sqrt{m(m-1)} c_{m-2}^{2b} - s (\gamma_1 + \bar{\gamma}) \mu \lambda \sqrt{(m+2)(m+1)} c_{m+2}^{2b} + \\
& + \sqrt{3} [-2P + s\bar{\gamma}\mu\lambda(2m+1)] c_m^{1b} + s\bar{\gamma}\lambda^2 \sqrt{3m(m-1)} c_{m-2}^{1b} + \\
& + s\bar{\gamma}\mu^2 \sqrt{3(m+1)(m+2)} c_{m+2}^{1b} = \varepsilon_b c_m^{2b},
\end{aligned} \tag{6}$$

где  $m = 2n$ ,  $2n + 1$  ( $n = 0, 1, 2, \dots$ ) в зависимости от «четности» решения.

Как и в непреобразованном гамильтониане, наибольшую «опасность» представляют члены с  $b^{+2}$ , которые, примешивая к функциям  $|m\rangle$  функции  $|m+2\rangle$ , приводят к бесконечному ряду в выражении для волновой функции (4) и соответственно к бесконечной системе уравнений для определения  $\varepsilon_{a,b}$  (5), (6). Можно попытаться оборвать этот ряд при некотором  $N$  и тем самым получить конечную алгебраическую систему на определение коэффициентов  $c_m^{i(a,b)}$  и энергии, используя свободу в выборе  $\lambda$  и  $\mu$ . В этом случае из (5) и (6) получаем конечную систему уравнений, из которых два последних имеют вид (одинаковый для любого  $n$  и любой четности): для серии  $a$

$$\begin{aligned}
& -s (\gamma_1 + \bar{\gamma}) \mu \lambda c_N^{1a} + s\bar{\gamma}\mu^2 \sqrt{3} c_N^{2a} = 0, \\
& -s (\gamma_1 - \bar{\gamma}) \mu \lambda c_N^{2a} + s\bar{\gamma}\lambda^2 \sqrt{3} c_N^{1a} = 0,
\end{aligned} \tag{7}$$

для серии  $b$

$$\begin{aligned}
& -s (\gamma_1 - \bar{\gamma}) \mu \lambda c_N^{1b} + s\bar{\gamma}\mu^2 \sqrt{3} c_N^{2b} = 0, \\
& -s (\gamma_1 + \bar{\gamma}) \mu \lambda c_N^{2b} + s\bar{\gamma}\lambda^2 \sqrt{3} c_N^{1b} = 0.
\end{aligned} \tag{8}$$

В обычном случае квадратичных гамильтонианов [5] уравнение на определение  $\lambda$  и  $\mu$  получается из условия обращения в нуль коэффициентов при членах, содержащих  $b^{+2}$ . Однако ввиду матричной структуры гамильтониана в нашем случае возникают два уравнения на определение  $\lambda$  и  $\mu$ , уже связанных условием (3). При произвольном соотношении между  $\gamma_1$  и  $\bar{\gamma}$  ясно, что как система уравнений (7) для серии  $a$ , так и система уравнений (8) для серии  $b$  несовместимы. В случае  $\gamma_1 = 2\bar{\gamma}$  уравнения (7) и соответственно уравнения (8) тождественны. Таким образом, при данном ограничении возникают следующие условия, определяющие  $\lambda$  и  $\mu$ : для серии  $a$

$$\sqrt{3} c_N^{1a} \lambda = \mu c_N^{2a}, \tag{9}$$

для серии  $b$

$$c_N^{1b} \lambda = \sqrt{3} \mu c_N^{2b}. \tag{10}$$

Данные условия неявно зависят от  $P$  через зависимость от давления параметров  $\lambda$  и  $\mu$ .

Выпишем для иллюстрации полную систему уравнений, определяющих уровни энергии для функций вида

$$\psi^{(a, b)} = \begin{pmatrix} c_0^1(a, b) |0\rangle \\ c_0^2(a, b) |0\rangle \end{pmatrix}.$$

Для серии  $a$ , согласно (5), (9),

$$\begin{aligned} \sqrt{3} c_0^1 a \lambda &= c_0^2 a \mu, \\ c_0^1 a \left\{ -s \left[ 3\bar{\gamma}\mu^2 + \frac{3}{2}(\bar{\gamma} + k) \right] + 3P \right\} + c_0^2 a \left\{ s\sqrt{3} \bar{\gamma}\mu\lambda - 2\sqrt{3} P \right\} &= \varepsilon_{a_0} c_0^1 a, \\ c_0^1 a \left\{ s\sqrt{3} \bar{\gamma}\mu\lambda - 2\sqrt{3} P \right\} + c_0^2 a \left\{ -s \left[ \bar{\gamma}\mu^2 + \frac{1}{2}(\bar{\gamma} - k) \right] + 7P \right\} &= \varepsilon_{a_0} c_0^2 a. \end{aligned} \quad (11)$$

Для серии  $b$ , согласно (6), (10),

$$\begin{aligned} \lambda c_0^1 b &= \sqrt{3} c_0^2 b \mu, \\ c_0^1 b \left\{ -s \left[ \bar{\gamma}\mu^2 + \frac{1}{2}(\bar{\gamma} + k) \right] + 7P \right\} + c_0^2 b \left\{ s\sqrt{3} \bar{\gamma}\mu\lambda - 2\sqrt{3} P \right\} &= \varepsilon_{b_0} c_0^1 b, \\ c_0^1 b \left\{ s\sqrt{3} \bar{\gamma}\mu\lambda - 2\sqrt{3} P \right\} + c_0^2 b \left\{ -s \left[ 3\bar{\gamma}\mu^2 + \frac{3}{2}(\bar{\gamma} - k) \right] + 3P \right\} &= \varepsilon_{b_0} c_0^2 b. \end{aligned} \quad (12)$$

При  $P=0$  решениями данных уравнений являются: для серии  $a$

$$\mu = 0, \lambda = 1, \varepsilon_{a_0} = -\frac{1}{2}s(\bar{\gamma} - k), \psi^a = \begin{pmatrix} 0 \\ |0\rangle \end{pmatrix},$$

для серии  $b$

$$\mu = 0, \lambda = 1, \varepsilon_{b_0} = -\frac{3}{2}s(\bar{\gamma} - k), \psi^b = \begin{pmatrix} 0 \\ |0\rangle \end{pmatrix},$$

т. е. результат, полученный в [2] для случая  $\chi=0$ . Решения систем (11), (12), т. е. зависимости  $\varepsilon_{a_0}$ ,  $\varepsilon_{b_0}$  от  $H$  и  $P$ , в общем случае имеют вид

$$\begin{aligned} \varepsilon_{a_0} &= -\frac{1}{2}s(-\bar{\gamma} + k) + 5P + 2P \left\{ \left[ \frac{-\frac{1}{2}s(\bar{\gamma} - k) + P}{P} \right]^2 + 3 \right\}^{1/2}, \\ \varepsilon_{b_0} &= \frac{1}{2}s(\bar{\gamma} - k) + 5P - 2P \left\{ \left[ \frac{\frac{1}{2}s(\bar{\gamma} - k) - P}{P} \right]^2 + 3 \right\}^{1/2}. \end{aligned}$$

Легко получить также решения  $\varepsilon_{a_1}$ ,  $\varepsilon_{b_1}$  для функций

$$\psi^{(a, b)} = \begin{pmatrix} c_1^1(a, b) |1\rangle \\ c_1^2(a, b) |1\rangle \end{pmatrix},$$

которые имеют вид

$$\begin{aligned} \varepsilon_{a_1} &= -\frac{1}{2}s(-3\bar{\gamma} + k) + 5P - 2P \left\{ \left[ \frac{-\frac{1}{2}s(3\bar{\gamma} - k) + P}{P} \right]^2 + 3 \right\}^{1/2}, \\ \varepsilon_{b_1} &= -\frac{1}{2}s(3\bar{\gamma} - k) + 5P - 2P \left\{ \left[ \frac{-\frac{1}{2}s(3\bar{\gamma} - k) - P}{P} \right]^2 + 3 \right\}^{1/2}. \end{aligned}$$

Графики полученных зависимостей  $\varepsilon_{a_0}$ ,  $\varepsilon_{b_0}$ ,  $\varepsilon_{a_1}$ ,  $\varepsilon_{b_1}$  от магнитного поля при  $P=2$  мэВ для бесщелевого полупроводника типа HgCdTe с параметрами  $\varepsilon_g = -100$  мэВ,  $E_p = 17$  эВ приведены на рис. 1.

Обратим внимание на «обрыв» точного решения  $\varepsilon_{a_1}(H)$  в точке  $H=12$  кЭ. При  $H < 12$  кЭ в системе уравнений для  $\varepsilon_{a_1}(H)$  не удовлетворяется условие (3), которое приводит к неравенству  $|\mu/\lambda| = y \leq 1$ . На рис. 2 приведена зависимость  $y(H)$ , из которой легко определить точку «обрыва» для корня  $\varepsilon_{a_1}$ . Чтобы найти энергию уровня  $a_1$  в области  $H < 12$  кЭ, а также энергии следующих уровней, необходимо учесть перемешивание осцилляторных функций с разными номерами, т. е. рассмотреть системы уравнений, возникающих для функций вида

$$\psi^{(a, b)} = \begin{pmatrix} c_0^1(a, b) |0\rangle + c_1^2(a, b) |2\rangle \\ c_0^2(a, b) |0\rangle + c_1^1(a, b) |2\rangle \end{pmatrix},$$

и т. д.

В данной работе мы ограничились вычислением уровней  $a_0, b_0, a_1, b_1$ , поскольку именно они представляют наибольший интерес с точки зрения эксперимента. Действительно, в бесщелевом полупроводнике наложение аксиального давления приводит к возникновению запрещенной зоны, которая в магнитном поле определяется расстоянием между уровнями  $a_1, b_0$  в случае  $\chi \perp H$  (рис. 1). То, что уровни  $a_1$  и  $b_0$  являются верхним и нижним уровнями Ландау валентной зоны и зоны проводимости, следует из рис. 3, где приведена зависимость энергий этих уровней от квазиимпульса вдоль направления магнитного поля  $\epsilon(k_z)$ . Представленные на этом рисунке законы дисперсии являются результатами приближенного счета, поскольку даже в случае  $\gamma_1 = 2\tilde{\gamma}$  не удается построить точного решения для  $k_z \neq 0$ . Эти корни были получены при использовании разложения по собственным функциям задачи с  $\chi = 0$ . При этом, как уже отмечалось, возникает детерминант бесконечного порядка. В численном счете мы

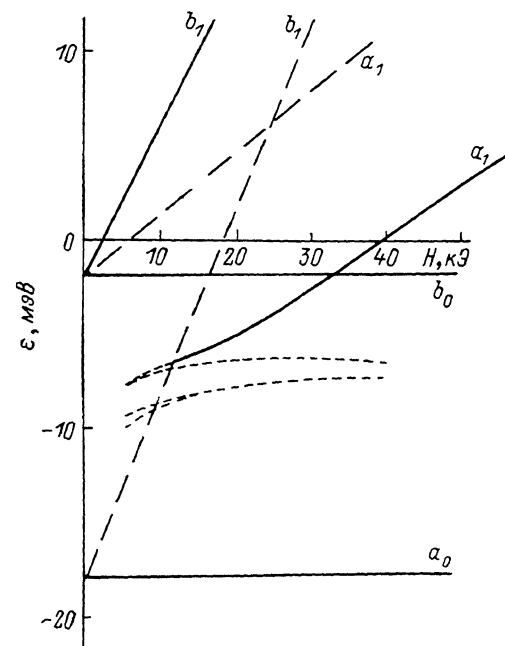


Рис. 1. Зависимость положения уровней Ландау от магнитного поля, рассчитанная с параметрами, указанными в тексте.

Сплошные линии —  $H \perp \chi$ , точное решение и результат приближенного расчета, пунктирные — результат приближенного расчета в области, где не было получено точного решения, штриховые —  $H \parallel \chi$ .

ограничились определителем 44-го порядка, т. е. учитывали перепутывание давлением уровней Ландау с  $n=0 \div 10$ . Таким же образом были рассчитаны зависимости  $\epsilon(H)$  и при  $k_z=0$ . В результате такого расчета были получены корни, которые, как видно из рис. 1, совпадают с точным решением для уровней  $a_0, b_0, a_1, b_1$ . Это позволяет утверждать, что расчеты, сделанные приближенным спо-

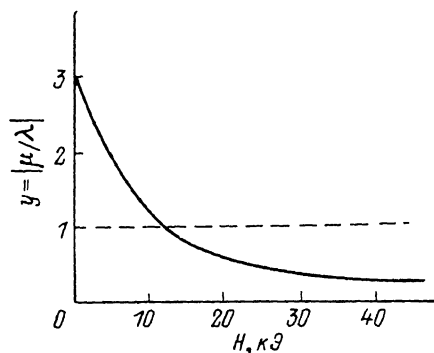


Рис. 2. Зависимость параметра  $\mu/\lambda$  от магнитного поля.

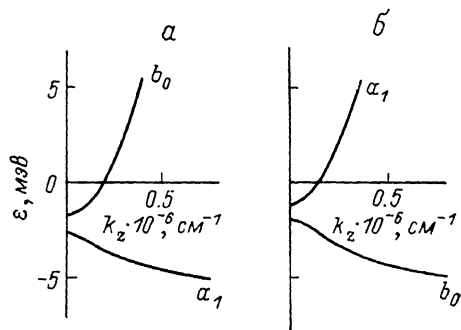


Рис. 3. Зависимость  $\epsilon(k_z)$  для уровней  $a_1$  и  $b_0$ .  $H \perp \chi$ .  $H$ , кЭ: а — 30, б — 35.

собом, являются достоверными и могут быть использованы для анализа интересующих нас состояний, т. е. состояний, определяющих потолок валентной зоны и дно зоны проводимости.

Для сравнения на рис. 1 приведены положения актуальных уровней Ландау при  $\chi \parallel H$ , полученные согласно [4]. Видно, что в этом случае приложенное давление также приводит к возникновению запрещенной зоны  $\Delta$ , которая с увеличением магнитного поля уменьшается до нуля, а затем появляется снова и начинает возрастать. Скорость изменения  $\Delta$  и величина магнитного поля, при

котором  $\Delta = 0$ , существенно зависят от взаимной ориентации  $x$  и  $H$ . Такое различие в поведении уровней должно учитываться при интерпретации экспериментальных результатов исследований одноосно деформированных бесщелевых полупроводников.

Предложенный метод точного расчета энергетических уровней может быть использован и в случае полупроводников с вырожденной валентной зоной  $\Gamma_8$ . И в этом случае, как показывают расчеты, квантование спектра происходит существенно различным образом в зависимости от относительной ориентации давления и магнитного поля.

#### Л и т е р а т у р а

- [1] Бир Г. Л., Пикус Г. Е. Симметрия и деформационные эффекты в полупроводниках. М., 1972. 584 с.
- [2] Guldner Y., Rigaux C., Grynberg M., Mysielski A. — Phys. Rev. B. 1973, v. 8, N 8, p. 3875—3883.
- [3] Trebin H. R., Rossler V., Ranvaud R. — Phys. Rev. B, 1972, v. 20, N 2, p. 686—700.
- [4] Takita K., Onabe K., Tanaka S. — Phys. St. Sol. (b), 1979, v. 92, N 1, p. 297—306.
- [5] Тябликов С. В. Методы квантовой теории магнетизма. М., 1975. 528 с.

Уральский государственный  
университет им. А. М. Горького  
Свердловск

Получена 15.07.1987  
Принята к печати 4.01.1988

